КАЗАХСКИЙ НАЦИОНАЛЬНЫЙ УНИВЕРСИТЕТ ИМЕНИ АЛЬ-ФАРАБИ

А.Т. Агишев

СТРОЕНИЕ И ЭВОЛЮЦИЯ ЗВЕЗД

Сборник лекций для студентов бакалавриата, обучающихся по образовательной программе «6В05306 - Физика и астрономия»

Лекция 10. Эволюция звезд с массами более 60 солнечных масс

Цель лекции

Изучить физические процессы, происходящие в самых массивных звёздах ($M > 60 \ M_{\odot}$), включая их внутреннюю структуру, стадии эволюции от главной последовательности до коллапса ядра, роль потери массы, формирование звёзд Вольфа—Райе и финальное образование чёрной дыры.

Основные вопросы:

- 1. Эволюционные стадии звезды с $M \approx 60 \ M_{\odot}$.
- 2. Потеря массы и влияние звёздного ветра.
- 3. Переход к стадиям LBV и WR.
- 4. Конвективные и ядерные зоны внутри массивной звезды.
- 5. Конечная стадия взрыв сверхновой и образование чёрной дыры.
- 6. Современные наблюдательные подтверждения массивных остатков.

Краткие тезисы:

Эволюция звезды с $M = 60~M_{\odot}$. На главной последовательности ($A \rightarrow C$) водород в ядре преобразуется в гелий через CN-цикл. Продолжительность стадии: ~3.7×10⁶ лет. Масса звезды уменьшается с 60 M_{\odot} до ~45 M_{\odot} из-за потерь вещества. Потеря массы возрастает от $1.4 \times 10^{-6}~M_{\odot}$ /год (ZAMS) до $7 \times 10^{-6}~M_{\odot}$ /год (TAMS). В результате конвекции продукты горения (He, ¹⁴N) поднимаются к поверхности, обогащая фотосферу. После исчерпания водорода ядро сжимается, начинается горение водорода в оболочке (точка C), а звезда становится нестабильной и расширяется. При этом звезда теряет значительное количество массы (~5 M_{\odot}) и становится яркой голубой переменной (LBV) — стадии $E \rightarrow F$.

Потеря массы и предел Хамфрис—Дэвидсона. Потери массы на стадии LBV достигают 5×10^{-4} М $_{\odot}$ /год. Из-за сильного ветра обогащённые гелием слои становятся видимыми на поверхности (He/H ≈ 0.4). Когда звезда достигает предела Хамфрис—Дэвидсона, её оболочка перестаёт расширяться и начинает сжиматься. Звезда возвращается влево по диаграмме Герцшпрунга—Рассела, превращаясь в горячий, гелиево- и азотно-обогащённый объект.

Формирование WR-звезды. На стадиях $F \to G$ звезда становится WR-звездой типа WN (богатой азотом и гелием). Потеря массы: ~3×10⁻⁵ M_☉/год. Позже (стадия $G \to H$) становятся видимы слои, обогащённые углеродом и кислородом — стадия WR типа WC. Эти элементы формируются при тройной альфа-реакции в ядре и выносятся конвекцией. К моменту завершения эволюции звезда теряет около 38 M_☉, выбрасывая в межзвёздную среду: 29 M_☉ водорода (частично обогащённого ¹⁴N), 8 M_☉ гелия, 1 M_☉ углерода и кислорода. Эти выбросы формируют кольцевые туманности WR-типа вокруг звезды.

Структура и наблюдаемые свойства WR-звёзд. Из-за плотного, оптически толстого ветра наблюдаемое излучение формируется не на поверхности, а в зоне ветра с $T\approx 30~000~K$ и радиусом $\sim 10~R_{\odot}$. Поэтому

наблюдаемая эффективная температура **гораздо ниже**, чем внутренняя (Тсоге $\approx 200~000~\mathrm{K}$). Светимость звезды остаётся почти постоянной, несмотря на уменьшение радиуса.

Финальная стадия — взрыв сверхновой и образование чёрной дыры. После завершения горения гелия (6×10^5 лет) начинается горение углерода, длящееся всего ~ 2000 лет. Последующие стадии (неон, кислород, кремний) проходят за месяцы. Конечный результат — коллапс ядра и взрыв сверхновой, оставляющий после себя чёрную дыру.

Образование чёрной дыры. При $M > 25 M_{\odot}$ масса остатка превышает возможную для нейтронной звезды ($\sim 2 M_{\odot}$), поэтому звезда коллапсирует в **чёрную дыру**. Чёрная дыра определяется **радиусом Шварцшильда**:

$$R_{Sch} = \frac{2GM}{c^2}$$

где для $M=6~M_{\odot}$, $R_{\rm S}ch\approx 18~{\rm km}$. Наблюдательные признаки: **рентгеновские** двойные системы (например, Cygnus X-1), рентгеновское излучение от аккрецирующего газа, орбитальные движения звезды-компаньона. Эти наблюдения подтверждают существование звёздных чёрных дыр.

Эволюционное значение потерь массы. Потеря массы массивными звёздами: изменяет химический состав и длительность эволюционных стадий; обогащает межзвёздную среду тяжёлыми элементами (C, N, O); объясняет происхождение LBV, WR и отсутствие ярких красных сверхгигантов; определяет химическую эволюцию галактик.

Вопросы для контроля, изучаемого материал:

- 1) Чем отличается эволюция звезды 60 M_{\odot} от звезды 15 M_{\odot} ?
- 2) Каков механизм усиления потери массы в звёздах большой массы?
- 3) Что такое предел Хамфрис–Дэвидсона и какое он имеет значение для LBV-звёзл?
- 4) Объясните разницу между WR-звёздами типов WN и WC.
- 5) Почему температура, наблюдаемая у WR-звёзд, ниже расчётной внутренней?
- 6) Каковы признаки существования звёздных чёрных дыр?
- 7) Как потеря массы влияет на химическую эволюцию галактик?

Рекомендуемый список литературных источников:

- 1) Kippenhahn, R., Weigert, A., & Weiss, A. (2012). *Stellar structure and evolution* (2nd ed.). Springer-Verlag. https://doi.org/10.1007/978-3-642-30304-3
- 2) Шварцшильд, М. (2009). *Строение и эволюция звезд* (Пер. с англ., 4-е изд.). URSS.
- 3) Hansen, C. J., Kawaler, S. D., & Trimble, V. (2004). *Stellar interiors: Physical principles, structure, and evolution* (2nd ed.). Springer-Verlag. https://doi.org/10.1007/b97471

4) Lamers, H. J. G. L. M., & Levesque, E. M. (2017). *The evolution of massive stars of 25–120 MO: Dominated by mass loss*. IOP Publishing. https://doi.org/10.1088/978-0-7503-1278-3

Лекция 10. Эволюция звезд с массами более 60 солнечных масс

Мы показываем эволюцию звезды с начальной массой $60M_{\odot}$ на рисунке 10.1. Верхняя граница в нижней панели указывает на убывающую массу из-за потери вещества. Во время стадии центрального горения водорода (от A до C) водород в ядре преобразуется в гелий через цикл CN. Эта стадия длится всего лишь 3.7×10^6 лет и вызывает увеличение содержания гелия и 14 N, а также уменьшение количества водорода и 12 C в обширной конвективной зоне. Одновременно масса звезды значительно уменьшается вследствие потери вещества. Последняя возрастает от 1.4×10^{-6} М $_{\odot}$ /год на стадии ZAMS (нулевая возрастная главная последовательность) до 7.0×10^{-6} М $_{\odot}$ /год на стадии TAMS (конец главной последовательности).

На стадии **B**, когда стадия главной последовательности почти подошла к концу, продукты горения водорода через CN-цикл в ядре переносятся к поверхности звезды благодаря обширной конвективной зоне. Звезда достигает стадии, когда вертикальные линии пересекают контур в точке B в нижней панели рисунка 10.1. В этот момент на поверхности звезды увеличиваются содержания азота и гелия, в то время как количества водорода и углерода уменьшаются. Звезда становится объектом типа ON, обогащённым азотом.

Когда запасы водорода в ядре полностью исчерпываются, оно начинает сжиматься, заставляя звезду перемещаться влево по диаграмме Герцшпрунга—Рассела. Это движение продолжается до тех пор, пока температура в области вокруг ядра не станет достаточно высокой, чтобы зажечь горение водорода в оболочке. Это происходит в точке С. К этому времени масса звезды уже уменьшилась примерно до $15 M_{\odot}$ а область оболочечного горения окружает ядро массой около $30 M_{\odot}$

С началом горения водорода в оболочке внешние слои звезды начинают расширяться, и звезда перемещается вправо по диаграмме Герцшпрунга—Рассела. В диаграмме Герцшпрунга—Рассела звезда вскоре становится нестабильной и превращается в **LBV** (яркая голубая переменная) (стадии $E \rightarrow F$). Она испытывает сильную потерю массы порядка $5 \times 10^{-4} \ {\rm M}_{\odot}$ /год. В целом она теряет около $5 {\rm M}_{\odot}$ за время стадии LBV, которая длится около $10\ 000\ {\rm net}$.

Из-за интенсивной потери массы обогащённые гелием слои становятся видимыми на поверхности звезды, где отношение Не/Н достигает значения около 0.4. В то время как звезда продолжает свою пост-главно-последовательную эволюцию и перемещается вправо на диаграмме Герцшпрунга—Рассела, она теряет ещё больше массы во время стадии LBV, так что её расширение прекращается.

Другими словами, она достигает **предела Хамфрис**—Дэвидсона, и, следовательно, её оболочка снова сжимается, а сама звезда возвращается влево на диаграмме Герцшпрунга—Рассела (после точки Е). Эта звезда теперь превратилась в светящуюся, относительно маломассивную горячую звезду с Не- и N-обогащённой фотосферой.

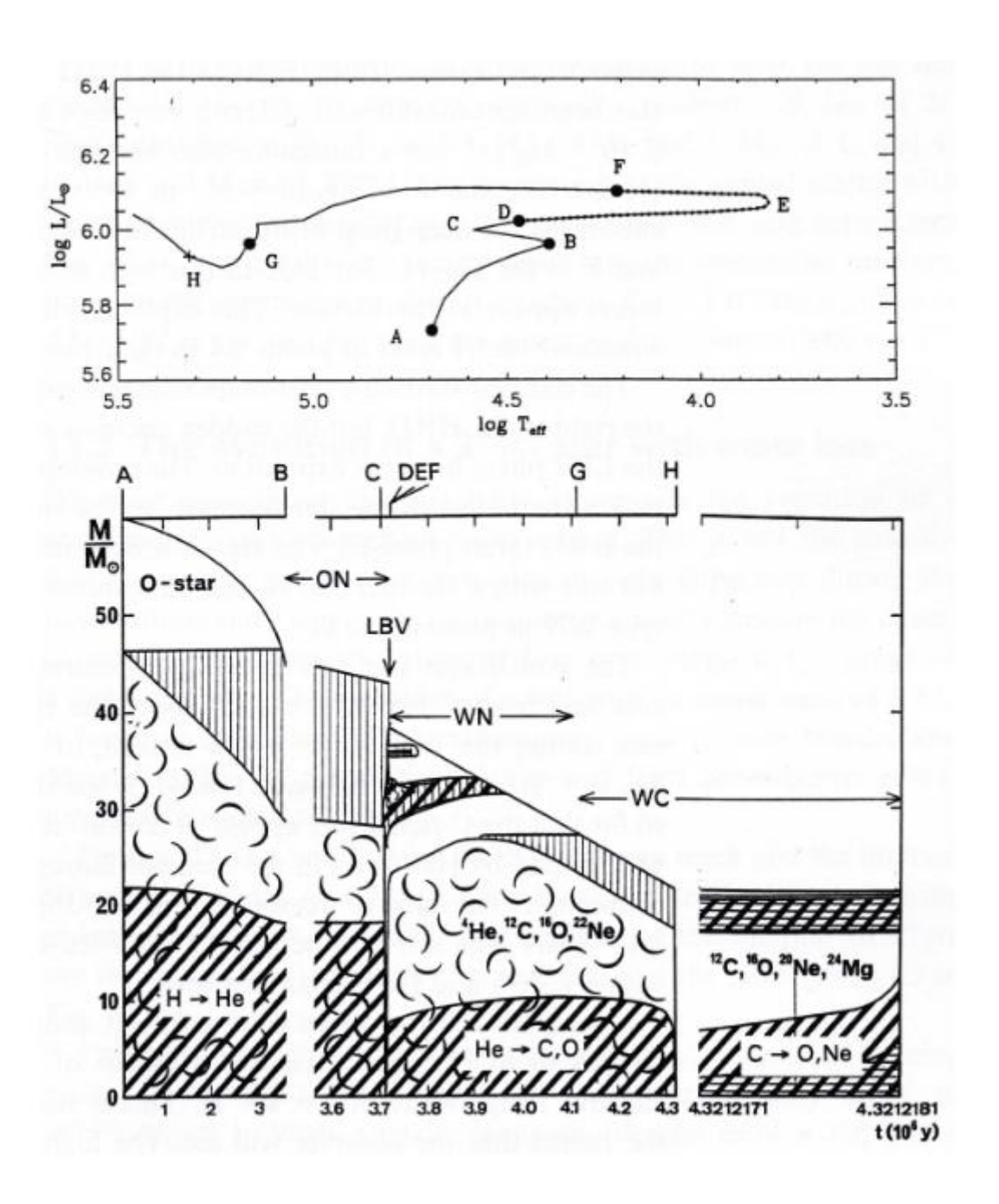


Рисунок 10.1. Верхняя панель: эволюционный трек звезды с начальной массой 60 М_⊙ на диаграмме Герцшпрунга—Рассела. Нижняя панель: внутренняя структура звезды как функция времени. Показаны стадии различных спектральных классов. В областях, обозначенных «облаками», перенос энергии происходит за счёт конвекции. Области с диагональными линиями указывают на зоны, где происходит термоядерное горение. Области с тонкими вертикальными линиями показывают места, где первоначальный химический состав значительно изменяется. Ось времени разделена на три части. Буквы в каждой из панелей обозначают конкретные стадии в жизни звезды, как это обсуждается выше.

Звезда становится **WR-звездой типа WN** на стадиях $F \to G$. Она продолжает терять водородную оболочку и получает энергию из комбинации горения водорода в ядре и горения водорода в оболочке, до тех пор, пока в

наружной оболочке остаётся достаточно водорода. Потеря массы во время стадии WR остаётся значительной — около $3\times10^{-5}~{\rm M}_{\odot}$ /год. Примерно через $4\times10^6~{\rm net}$ (стадия G) внешние слои теряются настолько сильно, что на поверхности звезды появляются богатые углеродом слои. Этот углеродсодержащий материал был образован в результате **тройной альфареакции** и вынесен наружу за счёт конвективных движений. Звезда теперь становится WR-звездой типа WC с оболочкой, богатой углеродом и гелием.

Тем временем звезда продолжает сжиматься (стадия $G \to H$). Светимость остаётся почти постоянной до тех пор, пока радиус не достигнет значения около $0.8R_{\odot}$ и эффективной температуры порядка 200 000 К. Однако наблюдатель не может «видеть» эту температуру из-за окружающего вещество оболочки. Большая потеря массы приводит к тому, что ветер становится оптически толстым. Излучение, которое уходит в направлении наблюдателя, исходит от области звёздного ветра, где температура составляет около 30 000 К. Радиус этой области, где ветер становится оптически толстым, составляет около $10R_{\odot}$. Это излучение наблюдается от ближнего ультрафиолета до инфракрасного диапазона. Следовательно, наблюдаемые WR-звёзды имеют гораздо более низкую эффективную температуру и гораздо больший радиус, чем те, что предсказываются расчётами эволюции звёзд. Оптически толстый ветер делает очень трудной задачу определения наблюдательных параметров WR-звёзд.

Стадия центрального горения гелия (стадия $D \to H$) длится около 6×10^5 лет и затем сопровождается стадией горения углерода. Последняя стадия длится только около 2000 лет. Все последующие стадии горения, которые всегда короче по времени, завершаются менее чем за год. Звезда взрывается как сверхновая с коллапсирующим ядром, после чего остаётся чёрная дыра. За время своей эволюции до взрыва звезда потеряла $38 M_{\odot}$ из своей начальной массы и передала её в межзвёздную среду:

- 29М_⊙ водорода, частично обогащённого ¹⁴N,
- 8М_⊙ гелия,
- 1М⊙ углерода и кислорода.

Взаимодействие выброшенного вещества с окружающей межзвёздной средой часто приводит к образованию туманности WR (кольцевой/оболочечной туманности).

10.1 Чёрные дыры

Когда звезда с массой М≳25М⊙ проходит через различные циклы горения и через стадии LBV и WR, возврата уже нет: звезда вскоре завершит свою жизнь как сверхновая. (До сих пор довольно неопределённые) теоретические варианты уравнений состояния (EOS) для нейтронных звёзд накладывают верхний предел около 2М⊙ для массы такого остатка. Для компактных объектов, которые оказываются более массивными, в настоящий момент не известно ни одного механизма, способного противостоять гравитации. Такие объекты коллапсируют в то, что называется чёрной дырой. Если нейтронные звёзды уже являются экстремальными по своей плотности, вращению и магнитным полям, то чёрные дыры представляют собой высшую форму этих экстремальных состояний.

Компактность — это конечная стадия, к которой может эволюционировать массивная звезда. По определению, коллапсировавшая звезда больше не может наблюдаться напрямую через электромагнитное излучение. Остаётся только сильное гравитационное поле.

Теоретическое описание чёрной дыры, а также сама концепция такого объекта полностью основаны на теории общей относительности. Это выходит за рамки данного курса и изучается отдельно. Тем не менее, даже простые рассуждения позволяют вывести странную ситуацию, когда радиус звезды с определённой массой становится настолько малым, что скорость убегания приближается к скорости света. Этот предельный радиус известен как радиус Шварцшильда и определяется выражением:

$$R_{Sch} = \frac{2GM}{c^2} \approx 3\frac{M}{M_{\odot}}$$
 KM.

Классическая механика никогда бы не привела к гравитационному полю для $r \le R_{Sch}$, из которого фотоны больше не могут покинуть объект, так как фотоны не имеют массы. Однако концепция шварцшильдовского радиуса даёт наглядное объяснение «чёрноте» чёрной дыры.

Несмотря на недавнее «изображение» сверхмассивной чёрной дыры в центре галактики М87, звёздные чёрные дыры остаются трудными для обнаружения. Один из подходов заключается в регистрации рентгеновского излучения, испускаемого веществом, падающим в чёрную дыру.

Другой, более простой метод — наблюдать движение видимого компонента в двойной системе, где второй компонент является чёрной дырой. Таким образом было доказано существование чёрных дыр. Сегодня известно много чёрных дыр в двойных системах. Наиболее известным и первым подтверждённым примером является **Cygnus X-1**. Этот объект является источником рентгеновского излучения, для которого спектроскопически измерено, что его компаньон — массивная звезда спектрального типа О (сверхгигант). Из оценки массы этого компаньона и наклона орбитальной

плоскости масса невидимого компактного объекта оценивается примерно в $6M_{\odot}$ что исключает возможность того, что это нейтронная звезда.

Тем временем были открыты многие другие подобные примеры двойных систем с невидимым массивным компаньоном, которые получили название **«рентгеновские двойные системы» (X-ray binaries)**. В этих объектах невидимые компаньоны обладают массой, превышающей (неопределённый) верхний предел для нейтронной звезды. Чёрные дыры в двойных системах упоминаются как финальная стадия эволюции звёзд с большой массой.

Краткие выводы

Мы подытожим некоторые из результатов, которые были описаны в этих лекциях. Потеря массы, вызванная звёздным ветром, приводимым в действие излучением, оказывает значительное влияние на жизненный цикл звёзд с начальной массой выше $15 M_{\odot}$ и, следовательно, на эволюцию галактик, содержащих такие звёзды.

Эта потеря массы:

- 1. изменяет химический состав поверхности звезды,
- 2. радикально изменяет продолжительность жизни звезды на определённых стадиях эволюции,
- 3. объясняет наличие околозвёздного вещества вокруг чёрных дыр,
- 4. существенно меняет эволюционные треки звёзд после стадии главной последовательности на диаграмме Герцшпрунга—Рассела,
- 5. объясняет отсутствие очень ярких красных сверхгигантов,
- 6. объясняет существование LBV (ярких голубых переменных) и WR-звёзд, которые являются предшественниками чёрных дыр,
- 7. и, **наконец, что не менее важно**, приводит к значительному обогащению тяжёлыми элементами межзвёздной среды и, таким образом, определяет химическую эволюцию галактик.

Список литературы:

- 5) Kippenhahn, R., Weigert, A., & Weiss, A. (2012). *Stellar structure and evolution* (2nd ed.). Springer-Verlag. https://doi.org/10.1007/978-3-642-30304-3
- 6) Шварцшильд, М. (2009). *Строение и эволюция звезд* (Пер. с англ., 4-е изд.). URSS.
- 7) Hansen, C. J., Kawaler, S. D., & Trimble, V. (2004). *Stellar interiors: Physical principles, structure, and evolution* (2nd ed.). Springer-Verlag. https://doi.org/10.1007/b97471
- 8) Lamers, H. J. G. L. M., & Levesque, E. M. (2017). *The evolution of massive stars of 25–120 M©: Dominated by mass loss*. IOP Publishing. https://doi.org/10.1088/978-0-7503-1278-3